

## Глава 3 УПРУГОЕ РАССЕЯНИЕ ЭЛЕКТРОНОВ

### § 3.1. Характеристики ядер в упругом рассеянии электронов

При упругом рассеянии энергия возбуждения ядра  $\omega = E_{\text{возб}} = 0$ , а начальное состояние ядра  $|J_i T_i \alpha_i\rangle$  совпадает с конечным. Из формулы (2.52) следует, что при  $J_i = J_f = J_0$  и  $T_i = T_f = T_0$ , величина  $J + \eta$  всегда четная и поэтому в упругое рассеяние могут давать вклады лишь те мультиполи, которые удовлетворяют этому условию. Для кулоновского (продольного) формфактора  $\eta = 0$  и  $J$  – четное число. Из правил отбора по моменту следует, что  $J \leq 2J_0$ . Следовательно, в суммарном кулоновском формфакторе при упругом рассеянии могут содержаться мультипольные формфакторы  $C_0, C_2, \dots, C_{J_{\max}}$ , где максимальное значение мультипольного момента  $J_{\max} = 2J_0$ . Формфакторы  $F_{ci}(q)$  связаны с распределением плотности заряда ядра, поэтому соответствующие им вклады в эффективное сечение называются вкладами упругого «зарядового» рассеяния.

Для вкладов поперечных формфакторов в упругое рассеяние  $\eta = 1$ , откуда следует, что в поперечный формфактор при упругом рассеянии входят только мультиполи с нечетными  $J$ . Требование положительной четности оператора перехода  $\pi = \pi_i = \pi_f = +1$  несовместимо с нечетностью  $J$ , поэтому электрические мультиполи  $EJ$  не могут принимать участие в упругом рассеянии. В поперечный формфактор упругого рассеяния могут входить только магнитные мультипольные формфакторы  $MJ$  с нечетными значениями  $J$ , причем  $J \leq 2J_0$ ; это так называемое «магнитное» упругое рассеяние.

Эффективное сечение упругого рассеяния, таким образом, связано только с кулоновскими (или

зарядовыми), и магнитными мультипольными формфакторами:

$$\left( \frac{d\sigma}{d\Omega} \right)_{el} = \frac{Z^2 \sigma_M}{\eta_R} \left[ \sum_{J=0,2,4,\dots}^{J_{MAX}} F_{CJ}^2(\mathbf{q}) + \left( \frac{1}{2} + \mathbf{tg}^2 \frac{\theta}{2} \right) \sum_{J=1,3,\dots}^{J_{MAX}} F_{MJ}^2(\mathbf{q}) \right], \quad (3.1)$$

где  $J_{max} \leq 2J_0$ ;  $J_0$  – спин основного состояния ядра.

Величины магнитных мультипольных формфакторов значительно меньше кулоновских формфакторов, поэтому их определение требует проведение экспериментов под большими углами рассеяния, желательно при  $\theta=180^\circ$ , когда вклад зарядового рассеяния в сечение равен нулю. При малых углах доминирует зарядовое рассеяние, которое является основным источником знаний о размерах ядер, форме потенциальной ямы ядерных сил и распределении плотности заряда в ядре.

### § 3.2. Зарядовое рассеяние.

Формфактор упругого зарядового рассеяния

$$F_L^2(\mathbf{q}) \equiv F_{CJ}^2(\mathbf{q}) = \frac{4\pi}{Z^2 (2J_0 + 1)} \sum_{J=0,2,\dots}^{J_{MAX}} \left| \langle J_0 \| \mathbf{M}_J^{cont}(\mathbf{q}) \| J_0 \rangle \right|^2. \quad (3.2)$$

При рассеянии на четно-четном ядре  $J_0=0$  и в рассеянии участвует только монопольный член  $C_0$ :

$$F_{C0} = \frac{1}{Z} \int_0^\infty \langle 0 | \widehat{\rho}(\mathbf{r}) | 0 \rangle j_0(\mathbf{qr}) r^2 d\mathbf{r} = \frac{1}{Z} \rho(\mathbf{q}). \quad (3.3)$$

Из § 2.1, следует, что

$$\begin{aligned} \rho(\mathbf{q}) &= \langle 0 | \widehat{\rho}(\mathbf{q}) | 0 \rangle = \int \langle 0 | \widehat{\rho}(\vec{r}) | 0 \rangle e^{-i\vec{q}\vec{r}} d^3 r = \\ &= Z \int |\psi_0(r)|^2 \exp(-i\vec{q}\vec{r}) d^3 r \end{aligned} \quad (3.4)$$

и формфактор

$$F_{C0}(q) = \int \exp(-i\vec{q}\vec{r}) |\psi_0(\vec{r})|^2 d^3r. \quad (3.5)$$

При этом для  $q=0$   $F_{C0}=1$ . Формулы (3.3)-(3.5) связывают формфакторы и сечение упругого рассеяния с волновой функцией ядра в основном состоянии. Из (3.5) следует возможность расчета формфакторов в модельных приближениях для волновых функций основных состояний ядер  $\psi_0(r)$ . Например, при рассеянии электрона на точечных частицах, когда  $|\psi_0(r)|^2=\delta(r)$ , формфактор  $F_{C0}(q)=1$ . Поэтому обнаружение в рассеянии электронов высоких энергий на протонах поведения формфактора  $F_L(q)\rightarrow\text{const}$  при высоких значениях переданного импульса  $q$  привело к открытию **партонов** – точечных частиц, входящих в структуру протона. Эти частицы были впоследствии отождествлены с кварками и глюонами.

Анализ экспериментальных данных по упругому зарядовому рассеянию, как правило, включает сравнение с результатами модельных теоретических расчетов. Такое сравнение позволяет объяснить основные особенности структуры сечения рассеяния и, с другой стороны, позволяет выявить ограниченность и недостатки использованной модели и сделать следующий шаг в понимании структуры ядра. Например, упругое рассеяние на ядре  $^{16}\text{O}$  имеет эффективное сечение, показанное на рисунке 3.1.

Интерпретация зависимости зарядового формфактора от переданного импульса  $q$  в микроскопической теории ядра может быть предпринята в простейшей версии одночастичной модели оболочек, так называемой «предельной» модели, когда все состояния  $1s$  и  $1p$  оболочек считаются заполненными, а все состояния более высоких оболочек вакантны.

Если одновременно считать, что в качестве волновых функций нуклонов в ядре  $^{16}\text{O}$  можно использовать

волновые функции гармонического осциллятора (ВФГО), то расчет зарядового формфактора становится сравнительно несложной задачей:

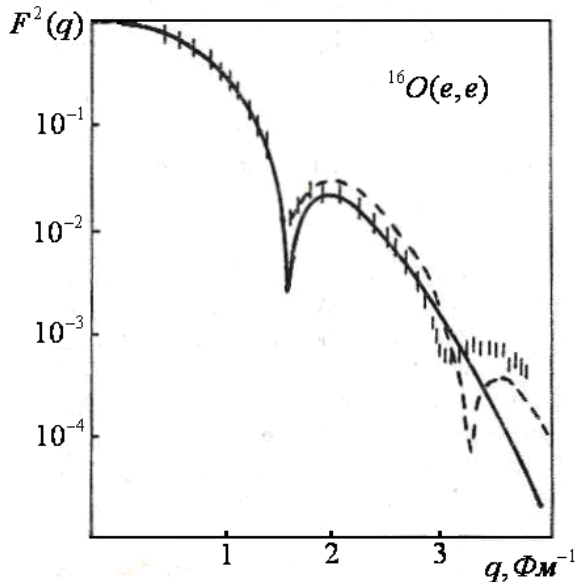


Рис.3.1. Формфактор упругого рассеяния электронов на ядре  $^{16}\text{O}$

$$\psi_0(r_1, \dots, r_{16}) = \frac{1}{\sqrt{16}} \text{Det} |\psi_{1S}(1) \dots \psi_{1S}(4) \psi_{1P}(1) \psi_{1P}(12)|;$$

$$\langle 0 | \hat{\rho}(\mathbf{r}) | 0 \rangle = \sum_{i=1} \int d^3 r_1 \dots d^3 r_{16} \psi_0^* \delta(\mathbf{r} - \mathbf{r}_i) \frac{1 + \tau_{3i}}{2} \psi_0;$$

$$F_{C0}(\mathbf{q}) = \frac{1}{Z} \int \exp(-i\mathbf{q}\mathbf{r}) \langle 0 | \hat{\rho}(\mathbf{r}) | 0 \rangle d^3 \mathbf{r} = \left(1 - \frac{\mathbf{q}^2 \mathbf{b}^2}{8}\right) \exp\left(-\frac{\mathbf{q}^2 \mathbf{b}^2}{4}\right). \quad (3.6)$$

Результат этого расчета изображен на рис. 3.1 в виде сплошной кривой. Параметр  $b = \sqrt{\hbar/\mu\omega}$  осцилляторного потенциала получают из условия совпадения минимума теоретического формфактора с положением экспериментального первого минимума в зависимости сечения от переданного импульса. В случае ядра  $^{16}\text{O}$  это дает  $b=1.77$  Фм. Из сравнения теоретического и экспериментального формфакторов на рис. 3.1 следует, что использованная теоретическая модель неплохо воспроизводит общий ход экспериментального формфактора примерно до  $q \leq 400$  MeV/c. Область более высоких переданных импульсов этим приближением описана быть не может. Более реалистическая картина формфактора может быть получена при условии использования волновых функций ядра в яме конечной глубины.

Для ядер, близких к сферическим, удовлетворительное согласие с экспериментальными данными о зарядовом рассеянии достигается при предположении о фермиевском двухпараметрическом распределении заряда

$$\rho(r) = \frac{\rho_0}{1 + \exp\left(\frac{r-R}{a}\right)}. \quad (3.7)$$

В этом распределении  $\rho_0 A/Z = \text{const}$  для всех ядер с  $J=0$  от  $A=20$  до  $A=208$ .  $R=r_0 A^{1/3}$ , причем  $\rho(R) = \rho_0/2$ ; толщина поверхностного слоя  $t$  ядра не зависит от  $A$  и равна  $4a \cdot \ln 3$ .

Распределению заряда (3.7) соответствует потенциальная яма конечной глубины (потенциал Вудса-Саксона):

$$V(r) = -V_0 \rho(r) / \rho_0. \quad (3.8)$$

Расчет зарядового формфактора ядра  $^{16}\text{O}$  с волновыми функциями в потенциале Вудса-Саксона приведен на рис.3.1 в виде штриховой линии; этот результат несколько ближе к экспериментальной картине, чем итог расчета с ВФГО.

Экспериментальные данные о распределении заряда в ядрах, полученные в последнее десятилетие в упругом рассеянии электронов, свидетельствуют, что параметры распределения заряда зависят от эффектов оболочечной структуры. На рис. 3.2а представлены экспериментальные данные о среднеквадратичном радиусе распределения заряда  $\langle r^2 \rangle^{1/2}$  (Точки, относящиеся к изотопам одного элемента, соединены прямыми линиями).

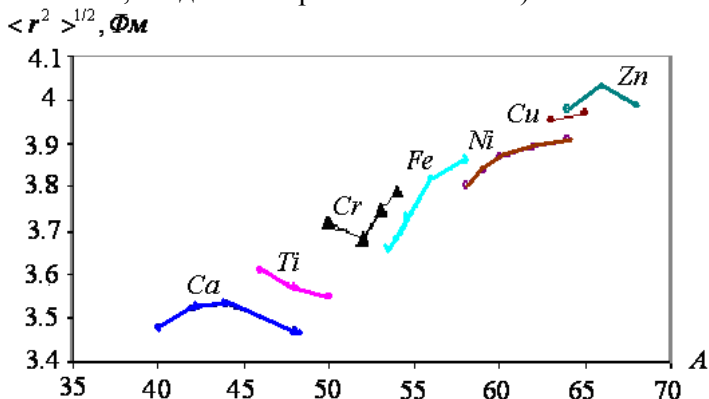


Рис. 3.2 а. Среднеквадратичный радиус распределения заряда  $\langle r^2 \rangle^{1/2}$  в ядрах по результатам упругого рассеяния электронов. [6]

Рис.3.2б отражает изменения толщины поверхностного слоя ядер рис. 3.1а

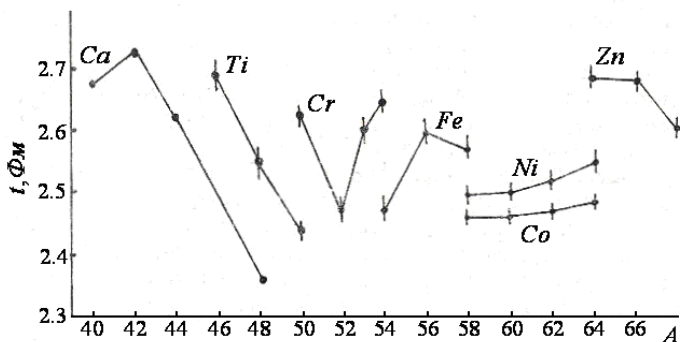


Рис. 3.2. б - Толщина поверхностного слоя ядер.[6]

Из этих результатов, полученных на ускорителях электронов, следует, что закон  $\langle r^2 \rangle^{1/2} = r_0 A^{1/3}$  является весьма приближенным, он выполняется лишь как общая тенденция. Отклонения от этого закона видны, например, для изотопов Ca: ядро  $^{48}\text{Ca}$  имеет меньший среднеквадратичный радиус распределения заряда, чем ядро  $^{40}\text{Ca}$ . У изотопов титана среднеквадратичный радиус падает с ростом A нуклонов в ядре. Для ядра  $^{58}\text{Ni}$   $\langle r^2 \rangle^{1/2} < \langle r^2 \rangle^{1/2} \text{ } ^{58}\text{Fe}$ , хотя у ядер железа число протонов на два меньше, чем у ядер никеля. Эти эффекты связаны с особенностью оболочечной структуры ядер. Например, ядро  $^{48}\text{Ca}$  содержит сверх кора - ядра  $^{40}\text{Ca}$  - еще 8 нейтронов, которые заполняют подоболочку  $1f_{7/2}$ . Из данных, приведенных на рисунках 3.2, следует, что по мере заполнения этой нейтронной подоболочки толщина поверхностного слоя ядра и среднеквадратичный радиус вначале увеличиваются, а затем резко падают. Возникает эффект сжатия протонного распределения в ядре. Соотношение радиусов ядер  $^{58}_{28}\text{Ni}$  и  $^{58}_{26}\text{Fe}$  связано с заполнением протонной  $1f_{7/2}$  подоболочки в ядре  $^{58}\text{Ni}$ .

Эксперименты по упругому (e,e) рассеянию дают сведения о распределении плотности заряда в ядрах.

Данные о распределении массы ядер можно получить из экспериментов по упругому рассеянию протонов (p,p). Сравнение данных (e,e) и (p,p) позволяет сделать вывод о параметрах распределения протонов и нейтронов в ядрах. Некоторые результаты таких исследований приведены в табл. 3.1.

Таблица 3.1.

Ядро	$r_n$	$r_p$	$\Delta r_{np}$
$^{16}\text{O}$	2,74	2,73	0,01
$^{28}\text{Si}$	3,15	3,14	0,01
$^{40}\text{Ca}$	3,48	3,49	-0,01
$^{48}\text{Ca}$	3,64	3,48	0,16
$^{208}\text{Pb}$	5,56	5,50	0,06

Из таблицы следует, что поверхность ядра  $^{48}\text{Ca}$  обогащена нейтронами. В ядре  $^{208}\text{Pb}$  по данным (e,e) и (p,p) экспериментов, вблизи поверхности наблюдается относительный переизбыток протонов, однако на поверхности ядра, при  $r > 8$  Фм, плотность нейтронов резко возрастает.

Типичные картины зависимости сечения упругого рассеяния от переданного импульса приведены на рис. 3.1 и 3.4 для ядер  $^{16}\text{O}$  и  $^{208}\text{Pb}$ . Увеличение переданного импульса выше  $2 \text{ Фм}^{-1}$  позволяет получить более точную информацию о распределении заряда вблизи центра ядра.

На рис. 3.3 показан результат экспериментальных исследований распределения заряда для семи четно-четных ядер на ускорителях в Сакле, Дармштадте, Майнце, Стенфорде, Амстердаме и Вашингтоне (NBS), проведенных в течение тридцати лет [7]. Эта информация о распределении заряда в основном состоянии ядер потребовала больших экспериментальных усилий для измерения малых сечений упругого рассеяния при больших переданных импульсах. Для всех приведенных на рис. 3.3 ядер, кроме  $^4\text{He}$ , распределение заряда было

получено путем сравнения экспериментальных результатов упругого  $(e,e)$  рассеяния с данными экспериментов с мюонами.

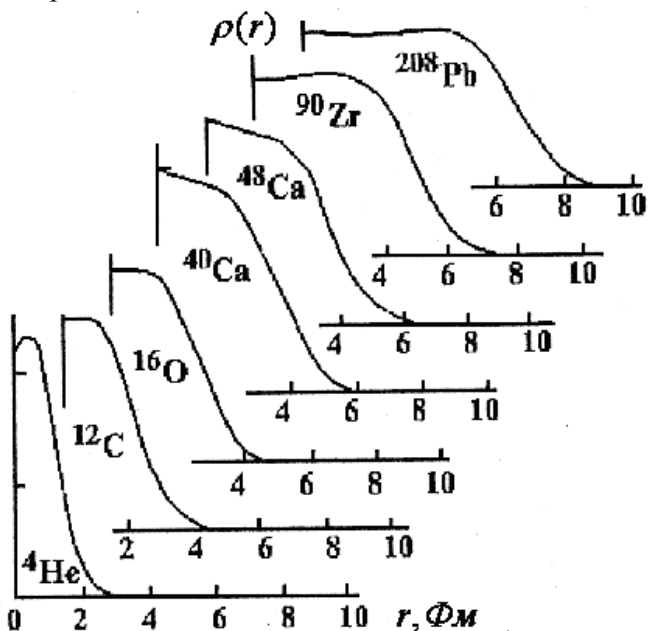


Рис.3.3. Экспериментальные распределения плотностей заряда в магических ядрах [7].

Теоретические расчеты распределения заряда, как правило, предсказывают более сильные колебания плотности, особенно в центре ядра, чем экспериментальные данные. Пример этой ситуации показан на рис. 3.4 для упругого рассеянии электронов на ядре  ${}^{208}\text{Pb}$ . Теоретическая модель, использованная в расчете для этого ядра, соответствует представлению о независимых частицах, находящихся в среднем самосогласованном ядерном поле. Это приближение, казалось бы, должно наилучшим способом описывать

результаты для тяжелого ядра  $^{208}\text{Pb}$ , стабильного относительно деформаций и имеющего замкнутые протонные и нейтронные оболочки. Из данных, полученных в реакции  $^{208}\text{Pb}(e,e)$ , следует, что описание волновой функции состояния как полностью соответствующей замкнутым по протонам и нейтронам оболочкам, не соответствует опыту. Отклонение теоретических расчетов от эксперимента особенно велико для больших переданных импульсов, что соответствует исследованию плотности заряда вблизи центра ядра.

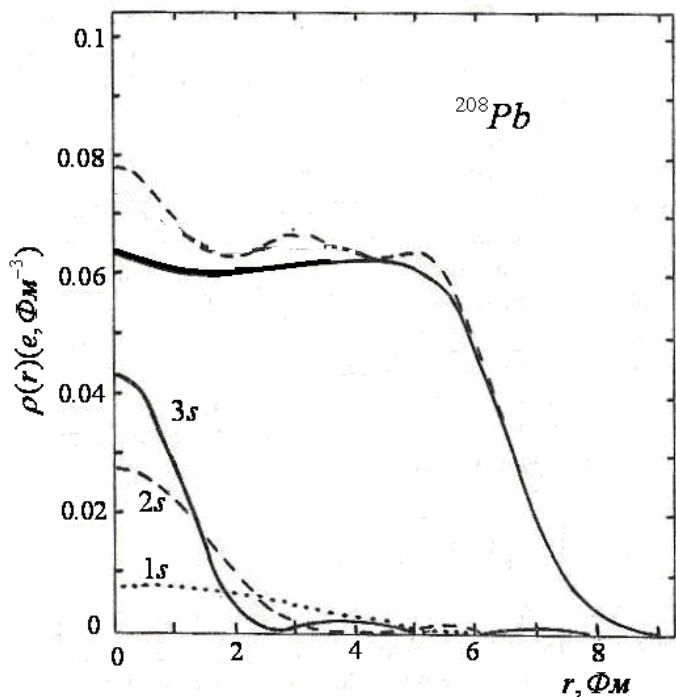


Рис.3.4. Плотность распределения заряда в ядре  $^{208}\text{Pb}$ . Сплошная линия – эксперимент. Указаны вклады плотностей распределения  $1s$ ,  $2s$  и  $3s$  (точечных) протонов. Штриховая линия – результат расчета.

Это расхождение теории и эксперимента является, первую очередь, результатом того, что в теоретической модели не были учтены нуклон-нуклонные корреляции на малых расстояниях. В модельных расчетах предполагалось, что корреляции нейтрализуются действием принципа Паули в ядрах с полностью заполненными низшими по энергиям оболочкам. Корреляции не могут привести к рассеянию нуклонов друг на друге, так как нуклон не может перейти в уже занятое состояние. На этом и основана гипотеза среднего поля, практическая ценность которой доказана хорошим соответствием большого объема экспериментальных данных предсказаниям теории. Однако можно показать, что в приближении эффективного потенциала среднего поля не могут быть исчерпывающим образом учтены корреляции на малых расстояниях. Основным, хотя и не единственным, источником корреляций являются силы спаривания. Вопрос о степени справедливости приближения, при котором точная волновая функция  $\psi$  заменяется на волновую функцию  $\phi$  модели среднего поля, будет ниже рассмотрен на примере ядра  $^{208}\text{Pb}$ . Рассмотрим подробнее плотность распределения заряда в ядре  $^{208}\text{Pb}$  вблизи центра ядра. В формировании плотности распределения заряда ядра  $^{208}\text{Pb}$  вблизи нуля могут участвовать только 6 протонов, находящихся в одном из трех возможных состояний 1s, 2s или 3s. Волновые функции остальных 76 протонов ядра  $^{208}\text{Pb}$  с орбитальным моментом  $l \geq 1$  равны нулю в начале координат. Волновые функции 1s и 2s протонов слишком сглажены, чтобы образовать заметный максимум в точке  $r = 0$ . Поэтому возрастание функции  $\rho(r)$  при  $r \rightarrow 0$  для ядра  $^{208}\text{Pb}$  связано с протонами в 3s состоянии (рис. 3.4). Однако в отличие от результатов теории, экспериментальная картина

плотности заряда почти лишена структуры, что показывает, что остаточные взаимодействия влияют на заселенность состояний. Чтобы выяснить роль 3s протонов в формировании плотности заряда, можно использовать тот факт, что 3s протоны присутствуют в валентной оболочке изотопов  $^{206}\text{Pb}$  и  $^{205}\text{Tl}$ . Исследование сечений упругого рассеяния электронов на соседних ядрах позволяет получить разность распределений зарядов этих ядер (еще интересней было бы исследовать разность распределения заряда ядер  $^{208}\text{Pb}$  и  $^{207}\text{Tl}$ , но последнее ядро нестабильно и не годится для изготовления мишени). Протоны 3s состояния дают вклад в сечение рассеяния при значительно больших переданных импульсах, чем протоны в других квантовых состояниях. Форма волновой функции 3s состояния близка к форме сферической функции Бесселя  $j_0(qr)$ , причем область их перекрытия в интеграле

$$\int |\psi_0(r)|^2 j_0(qr) r^2 dr$$

велика вблизи  $q = 2 \text{ Фм}^{-1}$ . На рис. 3.5 показаны экспериментальные результаты сравнения сечений упругого рассеяния электронов на ядрах  $^{206}\text{Pb}$  и  $^{205}\text{Tl}$ , полученные на ускорителях в Майнце и Сакле и проанализированные в обзоре [7]. Экспериментальные точки для отношения сечений на ядрах  $^{205}\text{Tl}$  и  $^{206}\text{Pb}$  близки к результатам расчета в модели независимых частиц. Пик при  $q = 2 \text{ Фм}^{-1}$  соответствует вкладу лишнего протона в 3s состоянии в валентную оболочку ядра  $^{206}\text{Pb}$ . Однако теоретическое значение превышает экспериментальный результат примерно на 30-35%. Анализ показывает, что при этих переданных импульсах вклад протонов, находящихся в других состояниях, не влияет на отношение сечений, показанное на рис. 3.5.

Эффекты поляризации также слабо сказываются на форме распределения  $3s$  протонов.

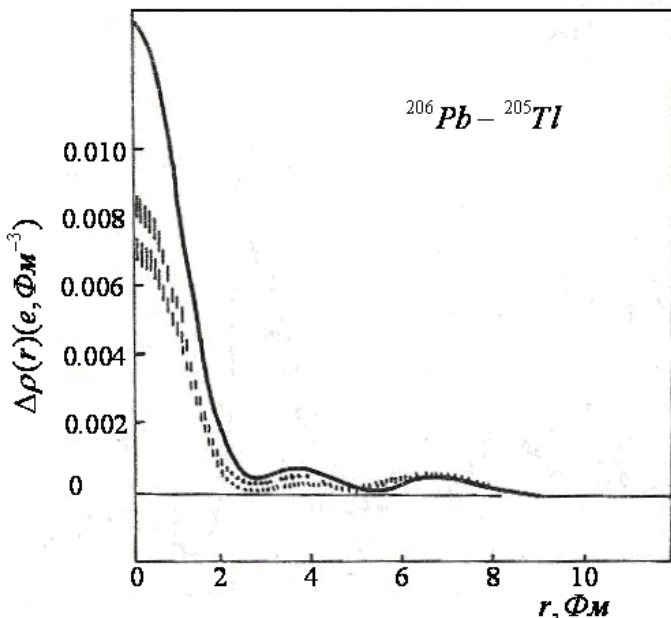


Рис. 3.5. Разность распределений зарядов в ядрах  $^{208}\text{Pb}$  и  $^{205}\text{Tl}$ . Сплошная кривая – расчет с максимальным числом заполнения  $3s_{1/2}$  состояния[7].

Использование разных форм эффективных потенциалов практически не влияет на этот результат. Разность распределений плотностей заряда в ядрах  $^{206}\text{Pb}$  и  $^{205}\text{Tl}$  (рис. 3.5) показывает, что во внутренней области ядра эксперимент и теория имеют такое же подобие, что и в зависимости отношения сечений от импульса  $q$ . Однако распределение  $\Delta\rho(r)$  позволяет убедиться, что в силу сохранения заряда, снижение – относительно теории –

функции  $\Delta\rho(r)$  в центре ядра приводит к превышению в области  $r \geq 5$  Фм.

Снижение плотности распределения в центре относительно теоретических предсказаний связано с тем, что числа заполнения  $3s$  состояний в ядре  $^{206}\text{Pb}$  (либо в обоих ядрах) не соответствуют гипотезе, что все состояния ниже поверхности Ферми полностью заполнены, а выше ее – вакантны. Если предположить, что  $3s$  состояния заполнены только на 65-70%, результат расчета будет очень близок к экспериментальным распределениям.

Этот результат не соответствует привычным представлениям о магических ядрах как ядрах с полностью заполненными оболочками. Экспериментальные данные по упругому рассеянию электронов показывают степень точности этого приближения.

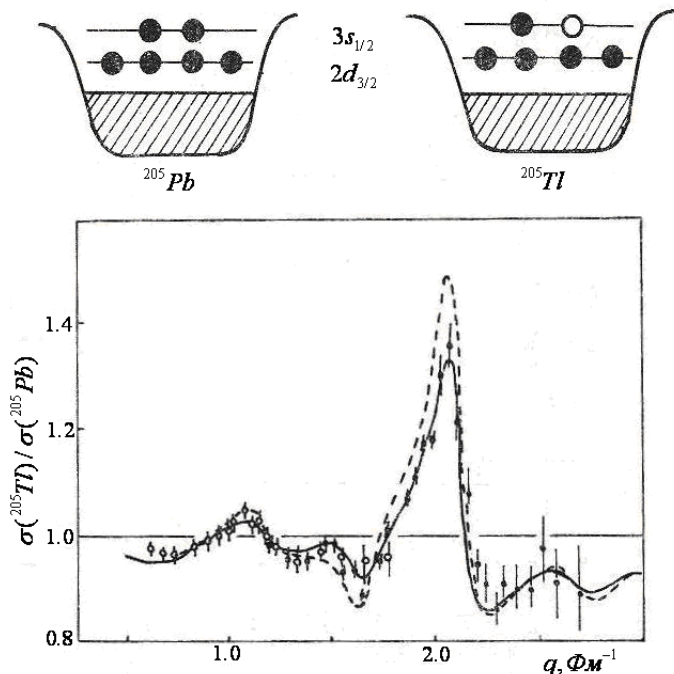


Рис. 3.6. Вверху – схематическая картина распределения протонов в ядрах  $^{206}\text{Pb}$  и  $^{205}\text{Tl}$  в подоболочках  $3s_{1/2}$  и  $2d_{3/2}$  вблизи поверхности Ферми при максимальных числах заполнения. Внизу – отношение эффективных сечений упругого рассеяния на ядрах  $^{206}\text{Pb}$  и  $^{205}\text{Tl}$ . Точки – экспериментальные данные, штриховая линия – результат расчета с максимальным числом заполнения  $3s$  подоболочки, сплошная – с 70% заполнением [7].

### § 3.3. Упругое магнитное рассеяние.

Если упругое зарядовое рассеяние позволяет создать картину распределения плотности заряда ядра, упругое магнитное рассеяние выявляет детали распределения

ядерного тока и намагничивания в основном состоянии ядра. Поскольку магнитные моменты в основном состоянии, как правило, определяются валентным нуклоном, упругое магнитное рассеяние позволяет исследовать свойства валентных нуклонов основного состояния. В отличие от зарядового рассеяния, в упругое магнитное рассеяние дают вклад, помимо протонов, также и нейтроны, участвующие в формировании спиновой части ядерного тока.

Рассмотрим упругое магнитное рассеяние на ядре с  $J_i = J_0 \neq 0$ . Упругий поперечный формфактор

$$F_T^2(q) = \frac{1}{2J_0 + 1} \sum_{J=1,3,5\dots} \left| \langle J_0 \parallel \widehat{T}_J^{mag} \parallel J_0 \rangle \right|^2 \quad (3.9)$$

состоит из вкладов матричных элементов мультипольных операторов  $\widehat{T}_{JM}^{mag}$  с нечетными значениями  $J$ . Величина поперечного формфактора может быть определена в экспериментах при углах рассеяния  $180^\circ$ , когда только поперечный формфактор формирует сечение рассеяния (2.41). Матричные элементы мультипольных операторов с разными  $J$  имеют различную зависимость от переданного импульса  $q$ . В длинноволновом пределе  $q \rightarrow 0$  доминирующим матричным элементом будет  $\langle J_0 \parallel \widehat{T}_1 \parallel J_0 \rangle$ , так же, как это имеет место для реальных фотонов. Поперечный формфактор, соответствующий оператору  $\widehat{T}_1^{mag}$ , при малых  $q$  пропорционален магнитному моменту ядра.

$$F_{M1}^2(q) \xrightarrow{q \rightarrow 0} \frac{J_0 + 1}{J_0} \left( \frac{q}{2M} \right)^2 \cdot \frac{\mu^2}{6\pi} \quad (3.10)$$

Количество мультиполей (мультипольных формфакторов), которое дает вклад в суммарный формфактор (3.9), зависит от спина основного состояния

ядра, поскольку  $J \leq 2J_0$ . Для ядер с  $J_0 = 1/2$  в магнитном упругом рассеянии принимает участие только магнитный дипольный член M1. В ядрах с  $J_0 = 3/2$ , например  ${}^7\text{Li}$  и  ${}^{11}\text{B}$ , в магнитное рассеяние дают вклады M1 и M3 мультипольные формфакторы, которые имеют максимумы при разных  $q$ . Зависимость мультипольных формфакторов от переданного импульса  $q$  позволяет с помощью использования теоретических расчетов матричных элементов  $\langle J_0 || \hat{T}_J^{mag} || J_0 \rangle$  разделить вклады отдельных  $F_{MJ}$  мультипольных формфакторов. Изучение магнитного упругого рассеяния является удобным методом исследования распределения спиновой компоненты ядерного тока, поскольку вклады ядерного намагничения в формфакторы (3.9), как правило, доминируют над вкладами конвекционного ядерного тока. Поэтому магнитное рассеяние, в отличие от зарядового, чувствительно как к протонам, так и нейтронам как частицам с одинаковыми по порядку величины магнитными моментами.

Нуклоны, содержащиеся в ядерном коре, т.е. в полностью замкнутых оболочках, не принимают прямого участия в магнитном рассеянии, которое дает информацию о внешних нуклонах ядра. В этом отношении магнитное рассеяние сходно с исследованием ядра в адронных взаимодействиях. Сравнение результатов магнитного (e,e) рассеяния и реакций с адронами является перспективным методом выделения спектроскопических эффектов, связанных с механизмом взаимодействия пробной частицы с ядром.

Ядерный ток, распределение которого формирует сечение магнитного упругого рассеяния, может содержать значительные вклады мезонных обменных токов. Поэтому изучение магнитных мультипольных формфакторов  $F_{MJ}$

(q) является также средством исследования ненуклонных степеней свободы ядра.

Возможность исследования конфигурационной структуры внешних подоболочек с помощью магнитного упругого рассеяния иллюстрируется на примере ядра  $^{28}\text{Si}$ , спин основного состояния которого  $J_0 = 1/2^+$ . В магнитное (e,e) рассеяние на  $^{29}\text{Si}$  дает вклад только  $F_{M1}$ . В “предельной” оболочечной модели ядро  $^{28}\text{Si}$  представляет собой полностью замкнутую систему, соответствующую конфигурации  $(1s_{1/2})^4(1p_{3/2})^8(1p_{1/2})^4(1d_{5/2})^{12}$ ; тогда ядро  $^{29}\text{Si}$  отличается от  $^{28}\text{Si}$  одним нейтроном в 2s подоболочке.

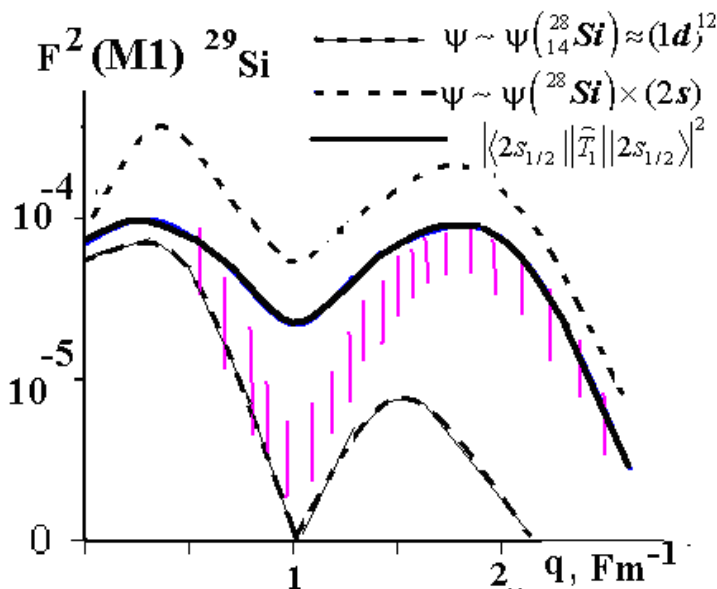


Рис.3.7. Поперечный формфактор  $^{29}\text{Si}(e,e)$  реакции: результаты расчетов с двумя волновыми функциями и экспериментальные данные[8].

На рис.3.7 показаны экспериментальные результаты измерений формфактора упругого магнитного рассеяния и результат расчета в “предельной” модели с волновыми функциями нейтрона в потенциале Вудса-Саксона (пунктирная кривая). Видно, что “предельная” модель сильно завышает значение  $F_{M1}^2(q)$  во всей области переданных импульсов. На этом же рисунке показан вклад матричного элемента  $\left| \langle 2s_{1/2} | \hat{T}_1 | 2s_{1/2} \rangle \right|^2$  (сплошная линия), рассчитанного с волновыми функциями в потенциале конечной глубины. Расчет указывает на роль  $2s$  нейтронов в создании второго максимума  $M1$  формфактора.

Исследование магнитного упругого рассеяния показало, что так называемый фактор подавления, т.е. отношение экспериментальной величины формфактора  $F_{M1}^2$  к результату расчета в “предельной” модели, зависит от мультипольности  $J$  ( $S < 1$ )

$$S = (F_{MJ}^2)_{\text{эксн}} / (F_{MJ}^2)_{\text{теор}}. \quad (3.11)$$

Зависимость фактора подавления от  $J$  можно проследить на примере упругого рассеяния электронов на угол  $180^\circ$  на ядре  $^{17}\text{O}$  [9] (рис. 3.8). Поперечный магнитный формфактор для ядра с  $J_0 = 5/2^+$  является суммой трех мультипольных формфакторов:

$$F_T^2 = F_{M1}^2 + F_{M3}^2 + F_{M5}^2.$$

На рис. 3.8 показаны, помимо экспериментальных данных, также результаты расчета мультипольных формфакторов  $M1$ ,  $M3$  и  $M5$  и результат их суммирования. Нормировка теоретических результатов с помощью фактора подавления  $S$  для области малых  $q$  дает одновременно неплохое согласие с экспериментом при  $q \approx 2.0 \text{ Фм}^{-1}$ , но область средних переданных импульсов

$q \approx 1,0 \text{ Фм}^{-1}$ , где доминирует М3 формфактор, оказывается при этом сильно завышенной.

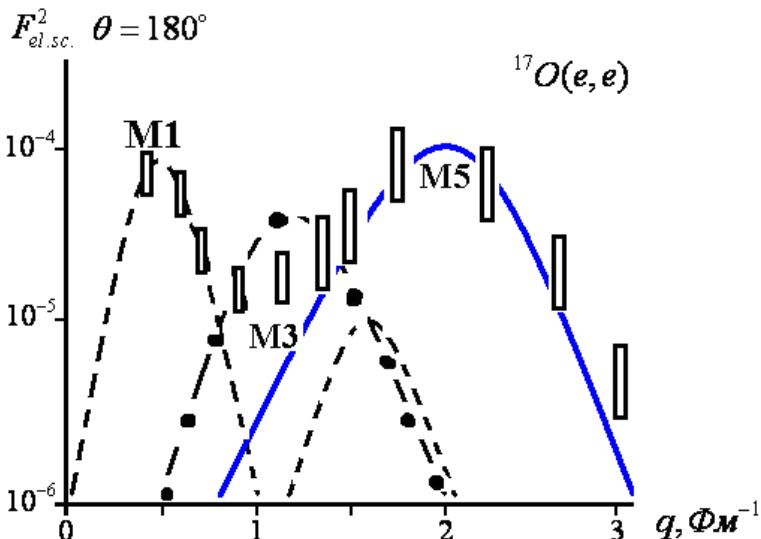


Рис.3.8. Поперечный формфактор  $^{16}O(e, e)$  реакции и вклады М1, М3 и М5 мультипольных формфакторов [9].

Эксперимент указывает на более сильное подавление мультипольного формфактора М3 по сравнению с М1 и М5. Аналогичная ситуация наблюдалась для упругого магнитного рассеяния на других ядрах. Например, эксперименты по исследованию  $^{51}V(e, e)$  реакции [9] показали более сильное подавление М3 и М5 мультиполей, чем М1 и М7. Указанная особенность эффекта подавления может быть объяснена поляризацией кора, вызванной остаточным взаимодействием между нуклонами. Например, в случае ядра  $^{17}O$  взаимодействие нуклонов кора и нейтрона в  $1d_{5/2}$  состоянии выше, если они находятся в синглетном спиновом состоянии, т.е. валентный нейтрон со спином вверх сильно

взаимодействует с нейтронами со спином вниз, заселяющими состояния кора. Это должно приводить к увеличению вероятности заселения состояний со спином вниз и, в итоге, к снижению среднего значения проекции магнитного момента.

Результаты расчета поперечных формфакторов  $F_{MJ}(q)$  проявляют высокую чувствительность к форме радиальных волновых функций валентных нуклонов. Например, более высокий среднеквадратичный радиус валентной орбиты приводит к более быстрому спаду при больших  $q$ . Поэтому изучение экспериментальных данных магнитного ( $e, e$ ) рассеяния позволяет определить среднеквадратичные радиусы внешних орбит с высокой точностью, порядка 1%. Чувствительность результата расчета к смешиванию конфигураций препятствует получению точных данных о радиусах орбит. Однако это не относится к случаю, когда в магнитное рассеяние может давать вклад только конфигурация с  $j = l+1/2$ . Такая ситуация имеет место для высшего по моменту мультиполя  $F_{MJ}$ , где  $J = 2j = 2l+1$ . Эта мультипольность соответствует перевороту спина неспаренного нуклона. Нуклоны с  $j' < j$  не могут давать вклады в этот формфактор и поэтому смешивание конфигураций не может повлиять на результат. Главные поправки к результату расчета формфактора максимальной мультипольности  $F_{MJ}$  являются результатом учета ненуклонных степеней свободы ядра. Вклады мезонных обменных токов в формфактор могут дать неопределенность в среднеквадратичном радиусе около 1%.

Вклад формфактора максимальной мультипольности в полное сечение можно выделить из данных ( $e, e$ ) экспериментов при больших  $q$ . Извлеченные из этих экспериментальных результатов радиусы валентных

нуклонных орбит для ряда ядер приведены в табл. 3.2 по данным [8].

Таблица 3.2.

Ядро	Орбита	Среднеквадратичный радиус, Фм
$^{49}\text{Ti}$	$(1f_{7/2})_n$	$4,042 \pm 0,014$
$^{51}\text{V}$	$(1f_{7/2})_p$	$4,063 \pm 0,010$
$^{87}\text{Sr}$	$(1g_{9/2})_n$	$4,824 \pm 0,050$
$^{93}\text{Nb}$	$(1g_{9/2})_p$	$4,946 \pm 0,020$

Среднеквадратичные радиусы валентных орбит, полученные в теории, оказываются заниженными по сравнению с экспериментальными данными, хотя расчетные параметры выбирают, как правило, из условий наилучшего совпадения с результатами зарядового рассеяния. Это систематическое расхождение теории и эксперимента является, по-видимому, следствием недооценки взаимодействия валентного нуклона со сложными  $pnh$  конфигурациями кора.

Исследование сечения упругого магнитного рассеяния в области, где оно определяется вкладом формфактора максимальной мультипольности, является надежным методом определения чисел заполнения оболочек и, как следствие этого, получения информации о нуклон-нуклонных корреляциях на малых расстояниях.